

某些过渡金属钌配合物非线性光学性能的从头算和密度泛函理论研究

林晨升^a 吴克琛^{* , a} Snijders, Jaap G.^b 酒荣建^a 陈锡华^{a*}

(^a 中国科学院福建物质结构研究所结构化学国家重点实验室 福州 350002)

(^b Theoretical Chemistry Group, Materials Sciences Center, Rijksuniversiteit Groningen, AG 4797 Groningen, The Netherlands)

摘要 实验发现金属钌的某些配合物具有大的非线性光学性能。我们的理论研究表明金属钌配合物 $[\text{Ru}(\text{NH}_3)_4\text{L}^{\text{D}}\text{L}^{\text{A}}]^{n+}$ ($n = 2, 3$; L^{D} , L^{A} = 吡啶衍生物配体) 的非线性光学性能取决于推电子基团 L^{D} 的给电子能力以及拉电子基团 L^{A} 的受电子能力。 L^{D} 和 L^{A} 的推拉电子能力越强越有利于提高配合物的二阶非线性光学系数 $\chi^{(2)}$ 。因此带正电荷的 L^{A} 能大幅度提高 $\chi^{(2)}$ 值。虽然增加共轭体系的长度有利于提高 $\chi^{(2)}$ 值,但在 Ru 的配体中,吡啶环间或吡啶环与苯环间不一定保持共面也会有大的 $\chi^{(2)}$ 值。DFT 和 *ab initio* 方法的计算结果对比表明,对于含过渡金属 Ru 的化合物,在 HF 水平上难以得到满意的结论,由从头算有限场方法计算得到的 $\chi^{(2)}$ 值偏小,而用 TDDFT 方法能得到可与实验值符合较好的结果。

关键词 Ru 配合物, 二阶非线性光学系数, 密度泛函理论方法, 从头算

TDDFT and ab initio Study on the Quadratic Hyperpolarizabilities of trans-Tetraammineruthenium(II) Complexes

LIN, Chen-Sheng^a WU, Ke-Chen^{* , a} Snijders, Jaap G.^b
SA, Rong-Jian^a CHEN, Xi-Hua^a

(^a Fujian Institute of Research on the Structure of Matter, Chinese Academy of Sciences,
State Key Laboratory of Structural Chemistry, Fuzhou 350002)

(^b Theoretical Chemistry Group, Materials Sciences Center, Rijksuniversiteit Groningen, AG 4797 Groningen, The Netherlands)

Abstract A series of large molecular quadratic hyperpolarizabilities in donor/accepter substituted *trans*-tetraammineruthenium(II) complexes $[\text{Ru}(\text{NH}_3)_4\text{L}^{\text{D}}\text{L}^{\text{A}}]^{n+}$ ($n = 2$, $\text{L}^{\text{D}} = 4$ -dimethylamino pyridine, $\text{L}^{\text{A}} = 4$ -pyridinecarboxaldehyde (**1**), 4-acetylpyridine (**2**), ethyl isonicotinate (**3**), or $n = 3$, $\text{L}^{\text{A}} = N$ -methyl-4,4'-bipyridinium (**4**), *N*-(4-acetylphenyl)-4,4'-bipyridinium (4-AcPhQ⁺) (**5**), and $n = 3$, $\text{L}^{\text{D}} = \text{NH}_3$, $\text{L}^{\text{A}} = (4\text{-AcPhQ}^+)$ (**6**) has been studied by using the TDDFT and *ab initio* HF method. It is found that the magnitude of the static hyperpolarizabilities χ_0 increases as the donor/accepter strength of $\text{L}^{\text{D}}/\text{L}^{\text{A}}$ increases. The co-planes of pyridine or benzene ring are not necessary to maintain the large nonlinear optic properties. According to our study on Ru complexes, TDDFT method is more reliable than HF method in $\chi^{(2)}$ -calculation.

Keywords tetraammineruthenium(II), hyperpolarizability, DFT, *ab initio*

激光的广泛应用及其非线性光学效应的发现对相关的材料设计提出了越来越高的要求。目前实用

化的非线性光学材料仍然是以无机晶体(如 BBO, LBO, KTP 等)为主,有机材料(如 MHBA, PNA, MNA

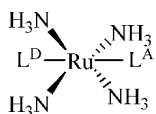
* E-mail: wkc@ms.fjirsm.ac.cn

Received October 8, 2001; revised November 26, 2001; accepted January 10, 2002.

国家自然科学基金(Nos. 69978021, 20173064)和福建省自然科学基金(No. E9910030)资助项目。

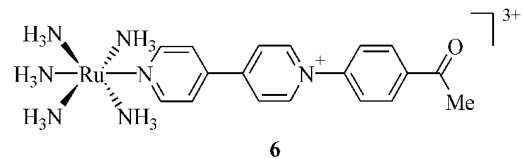
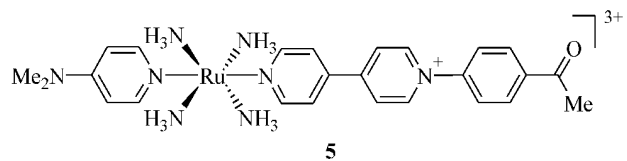
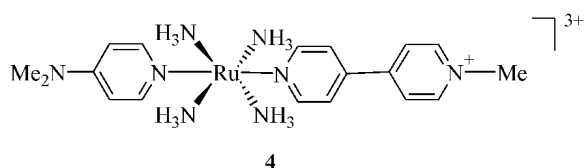
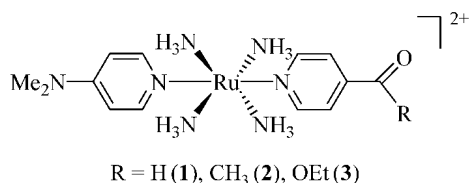
等)虽然具有比通常无机晶体高1至2个数量级的非线性光学系数,但受到晶体物化性能和生长条件的限制。人们因此开始了其他形态如有机薄膜材料的研发,但目前尚未达到器件化的阶段。另一方面,能够兼有无机、有机两类材料长处的金属有机化合物已开始引起人们的重视。由于有机配体的结构丰富多变和易于裁剪以及金属原子特别是过渡金属的丰富的价态,使得金属有机配合物不但具有高的非线性光学活性,而且对不同的实际应用而进行的分子设计也具有更高的灵活性。对其结构与性能关系的研究有助于新型非线性光学材料的设计与研发。

金属钌的有机配合物种类繁多,那些同时拥有推电子基团和给电子基团并有合理空间分布的配合物被认为具有很大的非线性光学活性。最近Coe等人合成了数十个如下系列八面体Ru化合物^[1],其二阶非线性光学系数 $\chi^{(2)}$ 值可达 10^{-27} esu量级:



其中 L^D 为给电子基团,如 NH_3 ,4-二甲基氨基吡啶。 L^A 为拉电子基团,如4-甲醛吡啶,4-乙酰吡啶,4-甲酸乙酯吡啶等。该系列化合物都具有较大的 $\chi^{(2)}$ 值。实验上采用超瑞利散射法(HRS),测得它们的 $\chi^{(2)}$ 值(指 $1.064\text{ }\mu\text{m}$ 波长下的 $\chi^{(2)}$ 值)介于 $284 \times 10^{-30} \sim 1214 \times 10^{-30}$ esu之间,是有机尿素分子的860至1810倍。采用外推法,还得到了静态二阶极化率 α_0 值,但这些报道都没有系统研究 α_0 值与分子结构之间的关系。

本文将采用密度泛函理论方法(DFT)^[2]和 $ab initio$ 方法研究该类化合物的分子结构和非线性光学性能之间的关系。对如下六个钌化合物^[1]进行了计算。



1 计算方法

由于该系列化合物中含有过渡金属元素Ru,其电子相关效应和相对论效应不可忽略,传统的从头算处理电子相关效应的方法(如MP2)因大量使用计算机资源,使得计算无法在一定精度上完成。新近发展起来的含时密度泛函理论方法(TDDFT)能计入电子相关效应,同时又具有计算量少而计算精度高的特点,特别适用于计算含有过渡金属的体系。为了对比,本文同时使用了ADF2000程序包^[3]和Gaussian 98程序包^[4]对Ru的金属化合物在从头算和密度泛函理论方法的水平上进行结构优化以及静态二阶非线性光学极化率 α_0 的计算。密度泛函理论方法是通过求解含时微扰KS方程得到 α_0 ,而从头算则用有限场FF方法^[5~7]在HF水平上求得。

从头算在HF/Lanl2dz水平上完成。DFT采用冻结内核的DZP Slater轨道基组,其中C,N,O的内核封闭到1s壳层,H原子为全电子计算。而Ru原子内核封闭到3d壳层,外层采用TZ基组,相对论效应采用ZORA近似,交换关联函数的LDA部分选用Vosko-Wilk-Nusair(VWN)^[8]方法,GGA部分用Beck-Perdew函数^[9,10]。

2 结构优化

首先对化合物1,2,3在 C_s 对称群下进行结构优化。在这种对称下,八面体相对顶点上的两个吡啶环同处于分子的对称面上。类似化合物^[11]晶体结构数据相应的平均键长为:N(L^D)—Ru:0.2080 nm,N(L^A)—Ru:0.2061 nm, H_3N —Ru:0.2147 nm。由表1得到DFT的计算结果与实验值符合得很好,而 $ab initio$ 计算的键长都比实验值大,误差大约10%。三个配合物的同一类N—Ru键的键长相互间差别不大。

表1 化合物1, 2, 3的优化结构(单位: nm)

Table 1 The optimized structures of molecules 1, 2 and 3 (unit: nm)

	化合物1		化合物2		化合物3	
键长	DFT	HF	DFT	HF	DFT	HF
N(L ^D)—Ru	0.2099	0.2236	0.2088	0.2236	0.2090	0.2237
N(L ^A)—Ru	0.2056	0.2257	0.2059	0.2269	0.2063	0.2267
H ₃ N—Ru	0.2162	0.2266	0.2163	0.2268	0.2161	0.2268

对于化合物4, 5, 6, 当在C_s对称性下进行优化时, HF方法虽然可以得到收敛的结构, 但对该结构进行频率分析时, 发现有15个虚频。同时DFT计算结果发现, 优化后的分子结构的前线轨道的电子占据总是不能正确地填充。假设把它们的对称性降低为C₁, 也就是允许吡啶环或苯环之间不在同一个平面上, 这时由HF得到的优化结构就不会出现虚频, 表明C₁对称性的结构是稳定的结构。而且这种结构在DFT的计算中也有合理的电子占据排布。从分子的空间结构上看, 由于4-4双吡啶相邻吡啶环上的H原子间的排斥作用, 导致这三个分子不能保持C_s的对称性, 而下降为C₁。Ru的类似配合物的晶体结构表明6中的L^A的苯环与吡啶环间的夹角约为45°, 两个吡啶环间夹角约10°。因此对于4, 5, 6应采用C₁对称性。

表2 化合物4, 5, 6的优化结构(单位: nm)

Table 2 The optimized structures of molecules 4, 5 and 6 (unit: nm)

	化合物4		化合物5		化合物6	
键长	DFT (C ₁)	HF (C _s)	DFT (C ₁)	HF (C _s)	DFT (C ₁)	HF (C _s)
N(L ^D)—Ru	0.2107	0.2218	0.2106	0.2220	0.2205	0.2267
N(L ^A)—Ru	0.2075	0.2333	0.2041	0.2328	0.2027	0.2274
H ₃ N—Ru	0.2159	0.2268	0.2160	0.2268	0.2171	0.2255

3 电子结构和非线性光学性能

对正二价化合物1, 2, 3的值计算的坐标选择如下, 坐标平面xy取为分子的对称面, x轴与L^D和L^A的连线重合, 正方向为L^D指向L^A, y轴的正向与酮基C=O键的夹角大于90°。在C_s对称性下, 的非零分量为_{xxx}, _{yyy}, _{xyy}, _{yxx}, _{xzz}, _{yzz}。表3是ADF的计算结果, 所采用的结构是用DFT方法优化的结果。在计算值时GGA部分采用LB94校正, 这

是由于LB94的交换-相关能在分子的外围具有正确的随-1/r变化趋于零势能的渐近性质, 能更好地描述分子的激发态行为^[12, 13]。从表3可看到的6个分量中_{xxx}远大于其它分量, 然后依次为_{yxx}, _{xyy}两个分量, 得到总的有效_{vec}:

$$\text{vec} = \left(\begin{array}{c} 2 \\ i \end{array} \right)^{1/2} \quad i = x, y, z \quad (1)$$

$$i = iii + \left[\begin{array}{c} (ijj + 2jii)/3 \end{array} \right] \quad (2)$$

由(1)式计算得到_{vec}的主要成分为_{xxx}, _{vec}和_{xxx}两者绝对值相差比例不超过8%, 因此在HRS实验中可以把配合物的超极化率看作是一维的, 也就是₁₀₆₄_{xxx}, _{xxx}的方向与L^D和L^A的连线方向相同, 这表明在该类配合物中, 沿L^D-Ru-L^A一线的电荷转移对非线性光学极化起了绝对的贡献, 其推拉电子基团的性质将决定化合物的宏观非线性光学性能。

在实验中, ₀是根据以下公式(the tow-level model)^[14~16]由₁₀₆₄外推求出

$$0 = \left[-2, , \right] / [1 - (2)^2 \left(\frac{2}{CT} \right)^{-1}] \\ \left(\frac{2}{CT} - \frac{2}{CT} \right)^{-2} \quad (3)$$

当分子在倍频附近有强吸收时, 使实测的倍频信号强度明显降低, 这必将导致₀被低估。因此虽然化合物1的₁₀₆₄值大于3的₁₀₆₄值, 但由于其_{max}[MLCT-1](544 nm)较3的更靠近倍频532 nm, 使得1的₀只有 10×10^{-30} esu, 小于3的₀(27×10^{-30} esu)。对于纯有机极性分子体系, 已经发现₀值与分子内电荷转移(ICT)能量间存在线性关系^[17, 18], 而Coe等人的工作^[1]表明对于Ru的金属有机配合物, $\log_{10} 1064$ 与 $\log E_{\text{MLCT}}$ 间也存在线性关系, 但由公式(3)所得的 \log_0 与 $\log E_{\text{MLCT}}$ 间, 部分配合物偏离了线性关系, 特别是对于1和2, 在 $\log_0 - \log E_{\text{MLCT}}$ 平面上它们的($\log_0, \log E_{\text{MLCT}}$)点明显地偏离那些_{max}[MLCT-1]远离倍频532 nm的配合物所处的直线。因此, 由实验值₁₀₆₄外推所得的₀比实际值小。DFT计算所得1, 2的_{xxx}与₀(实验外推值)相差较大, 这是由于由(3)式得到的₀被低估所致, 而3的_{xxx}与₀(实验外推值)则符合得较好。同时, 化合物1, 2, 3的_{xxx}有如下大小关系: _{xxx}(1) > _{xxx}(2) >

_{xxx}(3), 这与它们的拉电子基团的受电子能力4-甲醛吡啶>4-乙酰吡啶>4-甲酸乙酯吡啶的趋势恰好相同, 表明L^A的拉电子能力越强越有利于提高配合物的非线性光学系数, 理论计算得到的静态₀值比由实验值外推所得的₀值更能揭示配合物的内在的二阶极化率性质的变化趋势。

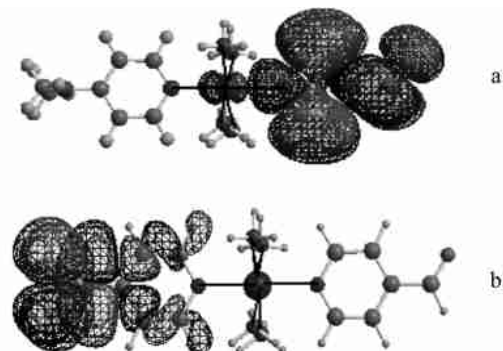


图1 1的LUMO(a)和HOMO(b)

Figure 1 LUMO (a) and HOMO (b) of molecule 1

由分子1的HOMO和LUMO(图1)可以看出,HOMO的成分为给电子基团4-二甲基氨基吡啶,LUMO的主要为受电子基团4-甲醛吡啶的贡献,金属Ru的成分很小.因此从HOMO到LUMO的跃迁表现为电子从L^D到L^A的转移,Ru原子只起一种连接L^D和L^A的作用,或者是传递电子的作用.

表3 化合物1,2,3的静态二阶极化系数的非零分量(DFT结果,单位:10⁻³⁰ esu)

Table 3 The non-zero static hyperpolarizability components of molecules 1, 2 and 3 (of DFT result, unit: 10⁻³⁰ esu)

	化合物1	化合物2	化合物3
χ_{xx}	41.98	38.88	32.97
χ_{yy}	0.08	0.38	-0.87
χ_{xy}	-0.30	-0.82	-1.99
χ_{yx}	-0.93	-3.79	-1.84
χ_{zz}	0.19	0.05	-0.08
χ_{yz}	0.15	0.34	0.19
χ_{zy}	41.33	36.12	31.17
χ_0 (实验外推值)	12	10	27
χ_{064} (实验值, ±15%)	362	284	302
χ_{max} [MLCT-1]/nm	544	520	500

另一方面,采用从头算法的优化结构,用Lanl2dz基组进行HF水平上的F-F方法计算 χ_{xx} 值:

$$E(F_x) = E(F_x) - E(-F_x) \quad (5)$$

$$\chi_{xx} = [E(F_x) - E(-F_x)] / [3(\chi^3 - \chi)] / F_x^3 \quad (6)$$

其中 F_x 为所加外场,取为0.0075 a.u.,是一任选常数,这里取4/3值, E 为分子在外场作用下的分子总能量值,详细的推导过程见文献[6,7].由F-F方法得到的配合物 χ 值都偏小,如化合物2的各 χ 值(单位:10⁻³⁰ esu)为: $\chi_{xx} = 4.83$, $\chi_{yy} = 0.07$, $\chi_{xy} = -0.02$, $\chi_{yx} = -0.31$, $\chi_{zz} = 0.01$, $\chi_{yz} = 0.03$,远小于DFT的计算结果,也小于实验值.这从一定程度

上说明对于含过渡金属配合物,至少是第VIII副族的Ru的配合物,以Lanl2dz基组作简单的HF和有限场方法计算难以得到可靠的结果,其原因可能是由于从头算法在没有计入电子相关作用能的情况下,所得配合物在外场作用下的能量值不够准确,而由公式(6)可看到,由于 χ_{xx} 与弱的外场 F_x 的3次方成反比关系,不够精确的能量差将导致计算出的非线性光学系数值产生大的偏差.

表4 化合物4,5,6的静态二阶极化系数的非零分量(DFT结果,单位:10⁻³⁰ esu)

Table 4 The non-zero static hyperpolarizability components of molecules 4, 5 and 6 (of DFT result, unit: 10⁻³⁰ esu)

	化合物4	化合物5	化合物6
χ_{xx}	239	326	276
χ_0 (实验外推值)	130	410	354
χ_{064} (实验值, ±15%)	587	1048	1112
χ_{max} [MLCT-1] nm	614	688	654

表4列出了C₁对称下的三价化合物4,5,6的 χ 值.除化合物4的理论计算值与实验值相差较大外,5和6的误差都约在20%以内.由于4的 χ_{max} [MLCT-1]最靠近532 nm,从而导致实验值的 χ_0 可能偏小.与二价化合物类似,对于相同的L^D,由于拉电子能力4-甲基联吡啶<4-苯乙酰联吡啶,相应的化合物5的 χ 值就大于4的 χ 值.同样,当L^A相同时,由于给电子能力NH₃不如4-二甲基氨基吡啶,相应化合物6的 χ 值小于5的 χ 值.由于这三个化合物的L^A本身带有一个正电荷,拉电子能力明显大于化合物1,2,3中的L^A,导致它们的 χ 值整体上比二价化合物增大了近十倍,其中5的 χ_0 值可能是迄今发现的金属有机配合物中最大的静态二阶极化系数.对于经典有机分子体系,增大共轭长度有利于提高 χ 值^[19],而在三价Ru配合物中,虽然L^A不能保持在一个大的共轭平面上,但配合物的 χ 值仍有很大的提高,这似乎表明在该体系中,配体的拉电子能力对于 χ 值的影响要大于它的共轭作用的影响.

表5 化合物1~6的偶极距(单位:Debye)

Table 5 The Dipole moments of molecules 1~6 (Unit: Debye)

	1	2	3	4	5	6
μ_x	-2.31	-2.81	-7.33	15.4	31.2	40.8
μ_y	2.56	4.34	1.01	-0.196	-1.78	2.89
μ	3.45	5.17	7.39	15.4	31.6	40.9

化合物 1~6 都具有静态偶极矩. 随着 L^A 配体的负电荷中心远离分子的正电荷中心, μ 的 y 分量逐渐变小, 在三价化合物 4~6, μ 的方向基本与 L^D 和 L^A 连线方向重合, 也就是 μ 的方向, 可以预计在 EFISH 实验中, 化合物 5, 6 将有最大的 $\mu \cdot$ 值. 与值变化趋势不同的是, μ 值按从小到大排列是 1 < 2 < 3. 由分子结构可看到, 当 4-甲氧基吡啶上的 R 基由 H 到 CH_3 再到 OCH_3 , 分子在 x 方向上增长, 使得正负电荷中心距离变大, 相应 μ 增大. 而三价化合物 5, 6 由于在正电荷的数值和与负电荷中心距离上都有较大的增长, 其 μ 值比二价化合物大很多.

4 结论

化合物 $[Ru(NH_3)_4L^D L^A]^{n+}$ ($n = 2, 3$; L^D, L^A = 吡啶衍生物配体) 的非线性光学性能与推电子基团 L^D 的给电子能力以及拉电子基团 L^A 的受电子能力直接相关, L^D 和 L^A 的推拉电子能力越强越有利于提高该体系化合物的二阶非线性系数, 因此带电荷的 L^A 能大幅度提高 $\mu \cdot$ 值. 与经典有机体系不同的是, 在 Ru 的配体中, 吡啶环间或吡啶环与苯环间一定要保持共面, 其行为更类似于醌型共轭体系^[20]. 金属 Ru 在配合中只起一种连接 L^A 与 L^D 的作用, 其电荷转移的细节状况有待更加深入的研究.

对比 DFT 和 *ab initio* 方法计算结果可看到, 对于含过渡金属的化合物, 用 HF 处理无法得到满意的结论, 特别是 $\mu \cdot$ 值较大的 Ru 配合物, 用 F-F 方法计算的 $\mu \cdot$ 值偏小, 而用 TD-DFT 方法能得到可与实验值相比较的结果.

References

- 1 Coe, B. J.; Chamberlain, M. C.; Essex-Lopresti, J. P.; Gaines, S.; Jeffery, J. C.; Houbrechts, S.; Persoons, A. *Inorg. Chem.* **1997**, *36*, 3284.
- 2 Te Velde, G.; Baerends, E. J. *J. Comput. Phys.* **1992**, *99*, 84.
- 3 Baerends, E. J.; Ellis, D. E.; Ros, P. *Chem. Phys.* **1973**, *2*, 41.
- 4 Frisch, M. J.; Trucks, G. W.; Schlegel, H. B.; Scuseria, G. E.; Robb, M. A.; Cheeseman, J. R.; Zakrzewski, V. G.; Montgomery, J. A.; Stratmann, R. E.; Burant, J. C.; Dapprich, S.; Millam, J. M.; Daniels, A. D.; Kudin, K. N.; Strain, M. C.; Farkas, O.; Tomasi, J.; Barone, V.; Cossi, M.; Cammi, R.; Mennucci, B.; Pomelli, C.; Adamo, C.; Clifford, S.; Ochterski, J.; Petersson, G. A.; Ayala, P. Y.; Cui, Q.; Morokuma, K.; Malick, D. K.; Rabuck, A. D.; Raghavachari, K.; Foresman, J. B.; Cioslowski, J.; Ortiz, J. V.; Stefanov, B. B.; Liu, G.; Liashenko, A.; Piskorz, P.; Komaromi, I.; Gomperts, R.; Martin, R. L.; Fox, D. J.; Keith, T.; Al-Laham, M. A.; Peng, C. Y.; Nanayakkara, A.; Gonzalez, C.; Challacombe, M.; Gill, P. M. W.; Johnson, B.; Chen, W.; Wong, M. W.; Andres, J. L.; Gonzalez, C.; Head-Gordon, M.; Replogle, E. S.; Pople, J. A. *Gaussian 98*, Gaussian, Inc., Pittsburgh PA, **1998**.
- 5 Buckingham, A. D. *J. Chem. Phys.* **1959**, *30*, 1580.
- 6 Lin, C. S.; Wu, K. C. *Chem. Phys. Lett.* **2000**, *321*, 83.
- 7 Lin C.-S.; Wu K.-C. *Acta Chim. Sinica* **2000**, *58*, 1369 (in Chinese).
(林晨升, 吴克琛, 化学学报, **2000**, *58*, 1369.)
- 8 Vosko, S. H.; Wilk, L.; Nusair, M. *Can. J. Phys.* **1980**, *58*, 1200.
- 9 Becke, A. D. *Phys. Rev. A* **1988**, *38*, 3098.
- 10 Perdew, J. P. *Phys. Rev. B* **1986**, *33*, 8822.
- 11 Coe, B. J.; Harris, J. A.; Asselberghs, I.; Persoons, A.; Jeffery, J. C.; Rees, L. H.; Gelbrich, T.; Hursthouse, M. B. *J. Chem. Soc., Dalton Trans.* **1999**, 3617.
- 12 van Leeuwen, R.; Baerends, E. J. *Phys. Rev. A* **1994**, *49*, 2421.
- 13 van Gisbergen, S. J. A.; Osinga, V. P.; Gritsenko, O. V.; van Leeuwen, R.; Snijders, J. G.; Baerends, E. J. *J. Chem. Phys.* **1996**, *105*, 3142.
- 14 Oudar, J. L.; Chemla, D. S. *J. Chem. Phys.* **1977**, *66*, 2664.
- 15 Oudar, J. L. *J. Chem. Phys.* **1977**, *67*, 446.
- 16 Zyss, J.; Oudar, J. L. *Phys. Rev. A* **1982**, *26*, 2016.
- 17 Stiegman, A. E.; Graham, E.; Perry, K. J.; Khundkar, L. R.; Cheng, L. T.; Perry, J. W. *J. Am. Chem. Soc.* **1991**, *113*, 7658.
- 18 Stähelin, M.; Burland, D. M.; Rice, J. E. *Chem. Phys. Lett.* **1992**, *191*, 245.
- 19 Albert, I. D. L.; Ratner, M. A.; Marks, T. J. *Chem. Mater.* **1998**, *10*, 753.
- 20 Albert, I. D. L.; Marks, T. J.; Ratner, M. A. *J. Am. Chem. Soc.* **1998**, *120*, 11174.

QSPR Studies on Solubilities of Some Given Solutes in Pure Solvents Using Frontier Orbital Energies and Theoretical Descriptors Derived from Electrostatic Potentials on Molecular Surface

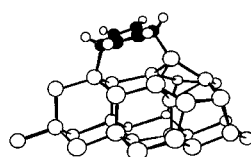
SHANG, Zhi-Cai; ZOU, Jian-Wei; HUANG, Mei-Lan; YU, Qing-Sen

Acta Chimica Sinica 2002, 60(4), 647

$$\log X_2 = aV_{s,\min} + bV_{s,\max} + c + d + e \text{ HOMO} + f \text{ LUMO} + g$$

Solubilities of given solutes in pure solvents can be well expressed in terms of four theoretical descriptors derived from electrostatic potentials on molecular surface V_{\min} , $V_{s,\max}$, , and the frontier orbit energies

Theoretical Study of the Chemisorption of Benzene on Si(111)-7×7 Surface



LI, Yan-Cha; WANG, Wei-Ning; CAO, Yong; FAN, Kang-Nian

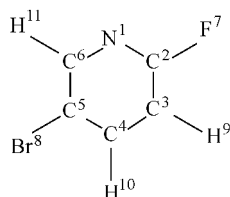
Acta Chimica Sinica 2002, 60(4), 653

A theoretical modeling approach using small and large silicon clusters respectively has been employed in the investigation of the chemisorption state of benzene on the Si(111)-7×7 surface. 1,4 Dir state was found to be the energetically more preferred state than the other two mono- binding states. The adsorption mechanism was proposed that firstly benzene molecules are weakly trapped into a monor bonding precursor state, which subsequently decay into a stable dir bonded chemisorbed state.

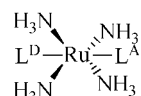
Density Functional Theory Studies on Vibrational Spectra of 2 Fluoro-5-bromopyridine

GUO, Yong; XIE, Dai-Qian; XUE, Ying; YAN, Guo-Sen

Acta Chimica Sinica 2002, 60(4), 660



TDDFT and ab initio Study on the Quadratic Hyperpolarizabilities of trans-Tetraammine ruthenium () Complexes



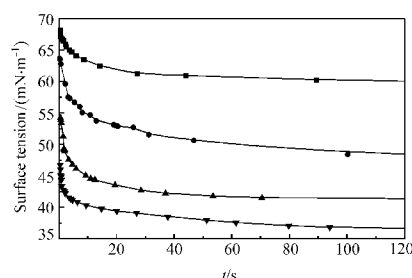
D: donor substituted
A: accepter substituted

LIN, Cherr-Sheng; WU, Ke-Chen; Snijders, Jaap G.; SA, Rong-Jian; CHEN, Xi-Hua

Acta Chimica Sinica 2002, 60(4), 664

The hyperpolarizabilities values of *trans*-tetraammineruthenium () complexes with different donor/ accepter substituted were studied by using the TDDFT and *ab initio* HF method.

Study on the Dynamic Surface Tension and Adsorption Kinetics of C₁₈DAC



CHEN, Wei-Jun; LI, Gao-Zuo; CHAI, Jin-Ling; LI, Ying; ZHANG, Zhi-Guo

Acta Chimica Sinica 2002, 60(4), 669

The dynamic surface tension (DST) of octadecyldimethylammonium chloride (C₁₈ DAC) was measured using the maximum bubble pressure method. The effects of (C₁₈ DAC) concentration and temperature of DST have been investigated systematically and the parameters (n , t_1 , t^* , t_m , $R_{1/2}$) have also been calculated out. Combined with Word-Tordai equation, the effective diffusion coefficient D_a and the adsorption barrier E_a were obtained. The adsorption mechanism was studied and the physical meaning of DST parameters was also discussed.